

1.はじめに。 交通の混雑度を表すためによく用いられる交通持性として、交通密度があるが、これは図1に示すように、必ずしも完全な尺度であるとは言えない。一般に交通量の増加に伴って、車両は車群を形成する傾向がある。追従理論より考えれば、一連の車両はどの名々か、その先行車の速度変化に対して瞬時に反応しない場合は車群と見なすことができる。すなはち、車両間の時間的あるいは空間的距離がある限界値以下の場合に車群を形成しているものとみなされる。こうして、車群の定義が可能となれば、平均車群台数が、より正確に交通の混雑度を表す指標として利用可能となると考えられる。著者の行為によって調査する車頭時間が9秒前後より追従車が先行車の影響を受け始め、5秒前後でその影響は急激に大きくなり、3秒以下では完全に先行車の荷束を受けるようになる傾向がある。<sup>1)</sup>そこで、ここでは限界車頭時間として2.9秒、5秒3秒とれたときの車群分布について検討した。

## 2.車群モデル ここではペルスイ試行による

車群モデルについて考察する。<sup>2)</sup>連続する車両の車頭間隔

○ ○ ○ ○ ○ ○	$E(n) = \frac{8}{3}$
○ ○ ○ ○ ○ ○	$E(n) = \frac{8}{4}$

隔が独立であると仮定すれば、車群がちょうど1台である確率は車頭間隔がある限界車頭間隔より小となる確率を $P$ とすると、 $P = 1 - P$ で表わされる。ここで $P$ は車群が1台である確率であり、 $n$ 台である確率は $P^n$ で表わすことができる。 $(n=1, 2, \dots)$  次に車群が2台である確率は、先頭車と追従車の車頭間隔が限界値より小さく、追従車と次の追従車との間隔が限界値より大きい場合であり、この確率は $P_2 = P(1-P)$ となる。これを順次繰り返すと車群が $n$ 台である確率は、式(1)で求められる。この車群台数の期待値は次のよう求められる。す

$$P_n = P^{n-1}(1-P) \quad (1)$$

$$E(n) = \sum_{n=1}^{\infty} n P_n \quad (2)$$

$$= 1 \cdot P_1 + 2 \cdot P_2 + 3 P_3 + \dots$$

$$= 1 \cdot (1-P) + 2 \cdot P(1-P) + 3 P^2(1-P) + \dots$$

$$= (1-P)(1+2P+3P^2+\dots) \quad (3)$$

$$E(n) = (1-P)^{-1} \quad (4)$$

すなはち式(2)は式(3)のよう変形でき、式(3)のオ

頂はその和か  $1/(1-P)^2$  となる総数であることにか

ら、期待値は式(4)で求められる。ここで任意の車

輪の車頭間隔を任意の車群を定義する限界車頭

間隔 $H_c$ より大きくなる確率 $1-P$ は道路上の車輪の

車頭間隔の分布に依存するものである。車頭間隔

が $H_c$ より大きくなる確率 $1-P$ は式(5)で求められる。そこで、車頭間隔分布を決定することが問題となる

が、ここでは、指数分布と複合指数分布とをあわせて結果について以下考察することにする。これら分布のあ

$$1 - P = P(t > H_c) = \int_{H_c}^{\infty} f(t) dt \quad (5)$$

ければもう一度計算することなく、観測されたデータを直接 $H_c$ に対する $1-P$ を求めて車群分布を求めた結果につ

いてもまた考察を行なうこととする。

## 3.車群分布

車群分布に関する観測データは、国道2号線、国道190号線の幾箇所で各地点で取得された。<sup>3)</sup>ここでは、国道190号線宇都宮市柳ヶ瀬付近で得られて結果について述べることにする。なお観測台数は、460台、平均車頭時間8.5秒、1時間換算交通量425台であった。なお、他の地點に対する解析結果につき218、講演日当日を報告する予定である。指数分布はよく知られた分布であるが、複合指数分布は式(6)で与えられるような分布であり、この分布のパラメータの決定方法については、高田氏<sup>4)</sup>により詳しく述べられており、ここでは省略し、パラメータの値のみ記しておくこととする。

$$f(t) = \frac{1}{T_f - \varepsilon} e^{-\frac{t-\varepsilon}{T_f - \varepsilon}} + \frac{1/\tau}{T_f} e^{-\frac{t}{T_f}} \quad (6)$$

$$(T_f = 3.0 \text{ sec}, \tau = 12.9 \text{ sec}, \varepsilon = 1.11 \text{ sec}, \gamma = 0.42)$$

$T_f$ : 車群車の平均車頭時間,  $\tau$ : 自由車の平均車頭時間

$\varepsilon$ : 限界車頭時間,

$\gamma$ : 車群比(車群車台数比率)

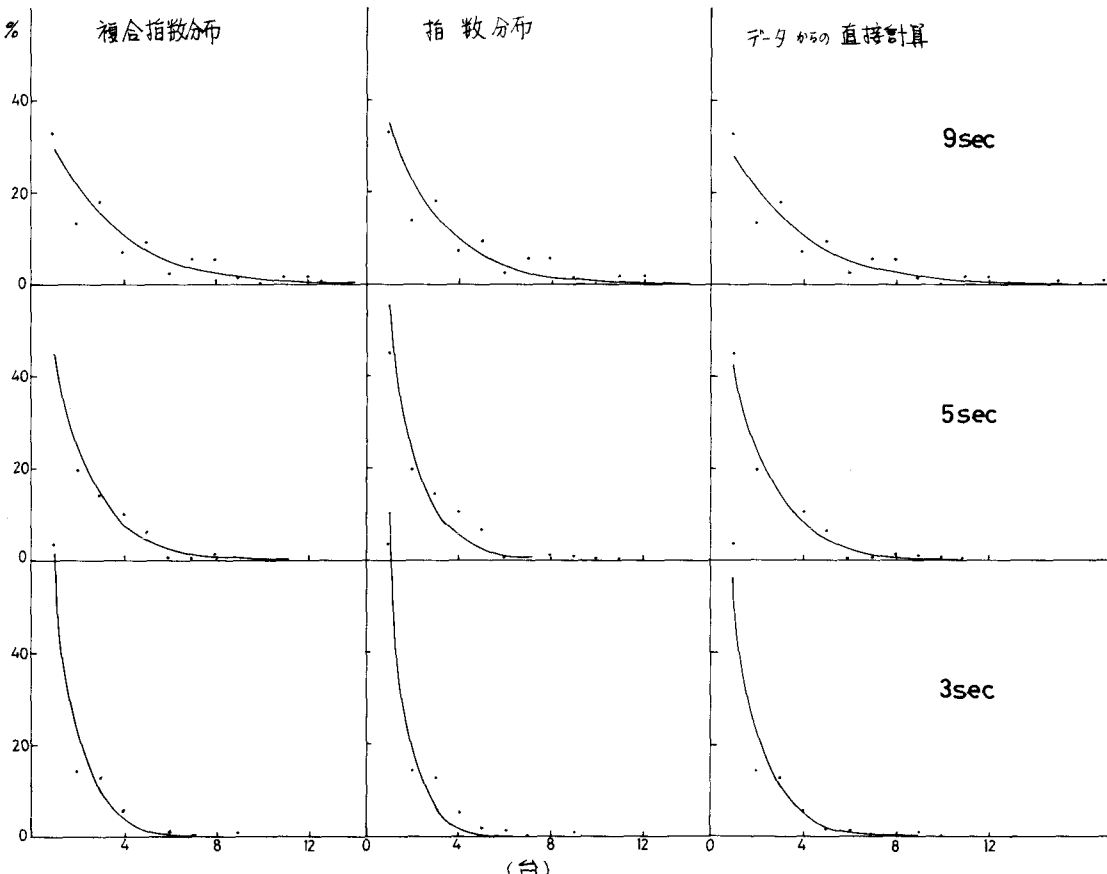
車群分布に対して指數分布、複合指數分布を適用し下結果を得たが、データより直接  $1-P$  を計算した結果は表1、図2に示すようにである。指數分布は他の2つの方法と比較してあまり良好な結果を示していないが、これはこの分布が車頭間隔分布を正確に表現していないことによるものと思われる。複合指數分布は良好な結果を示しているが、 $\gamma$ 、 $\theta$ 、 $\psi$ 、 $\delta$ などのパラメータを推定する計算が繁雑である。データより直接計算する方法は最も簡単で良好な結果を示している。しかしながら今後理論的研究を進めゆくことを考慮すると、より簡単な手続きで正確な車頭間隔分布を表現する分布形についての研究を進めてゆく必要がある。そこで今回は行なっていよいよ、Erlang 分布のようなど分布形の適用  $K=112$  も今後研究を進めてゆきたい。

表1.  $P$ ,  $1-P$ , 平均車群台数(計算値)

分布形	$H_c$	$1-P$	$P$	平均車群台数
複合	3	0.615	0.385	1.63
指數分布	5	0.448	0.552	2.23
	9	0.295	0.705	3.39
指數分布	3	0.703	0.297	1.42
	5	0.555	0.445	1.80
	9	0.347	0.653	2.88
データより 直接計算	3	0.556	0.444	1.80
場合	5	0.420	0.580	2.38
	9	0.277	0.723	3.61

表2. 平均車群台数(観測値)

$H_c$	3	5	9
平均車群台数	1.79	2.37	3.59



#### 参考文献 1) 近日中長報告の予定

- 2) D. R. Drew, *Traffic Flow Theory and Control*, pp. 236~240, McGRAW-HILL, 1968.
- 3) 高田 弘也, 道路交通流における車群の走行特性  $K=112$ , 防大理工研, 第2巻, 第2号, pp. 175~189, 1964.